

где $F_l' = -6\pi\mu adq_l/dt$ — формула Стокса для определения силового воздействия на движущуюся сферу в покоящейся жидкости. Согласно формулам (13) и (14), получим

$$(15) \quad dq_l/dt = u_l(\mathbf{q}) + (1/2)q_s(\partial u_s/\partial y_l)(\mathbf{q}) + (a^2/6\mu) \times \\ \times (\partial p^0/\partial y_l)(\mathbf{q}),$$

где t — время.

Полученные уравнения (15) описывают движение центра частицы в неоднородном потоке вязкой несжимаемой жидкости.

Поступила 6 X 1975

ЛИТЕРАТУРА

1. Воннов О. В. О силе, действующей на сферу в неоднородном потоке идеальной несжимаемой жидкости.— ПМТФ, 1973, № 4.
2. Wakiva Shoichi. Slow motions of a viscous fluid around two spheres.— «J. Phys. Soc. Lapan», 1967, vol. 22, №4.
3. Greenstein T., Happel J. Theoretical study of the slow motion of a sphere and a fluid in a cylindrical tube.— «J. Fluid mech.», 1968, vol. 34, N 4.
4. Brenner H. Hydrodynamic resistance of particles at small Reynolds numbers.— In: Advances in Chemical Engineering Vol. 6. N. Y., Academic Press, 1966.
5. Ламб Г. Гидродинамика. Л., ГИТТЛ, 1947.

УДК 532.517.4

К ТЕОРИИ ТУРБУЛЕНТНОГО ПЕРЕМЕШИВАНИЯ ГРАНИЦЫ РАЗДЕЛА ЖИДКОСТЕЙ В ПОЛЕ ТЯЖЕСТИ

B. E. Неуважаев, B. Г. Яковлев

(Челябинск)

Теория турбулентного перемешивания границы раздела двух сред, движущихся ускоренно, построена в работе [1], для несжимаемых жидкостей дано приближенное решение; в уравнении баланса кинетической энергии турбулентного движения учтено изменением кинетической энергии во времени.

В работе [2] проведено усреднение характерной турбулентной скорости по области перемешивания. Это позволило проинтегрировать исходные уравнения с учетом изменения кинетической энергии во времени. Оказалось, что найденный профиль плотности примерно совпал с профилем работы [1] в широком диапазоне изменения начального перепада плотностей.

В данной работе изучаются уравнения для перемешивания несжимаемых жидкостей в полной постановке. Установлено, что решения [1, 2] имеют ограниченную область применения, справедливую при малых отношениях плотностей. Проведен качественный анализ полученного решения и показано, что градиент плотности на фронте перемешивания имеет разрыв. Исследована зависимость разрыва от двух эмпирических постоянных. На основании теоретических соображений [2, 3] и сравнения с решением [1] сделан приближенный выбор значений этих постоянных. Найдена численная зависимость несимметрии перемешивания от начального перепада плотностей. Количественные характеристики решения иллюстрируются на графиках.

1. Постановка задачи. Для описания турбулентного перемешивания двух веществ постоянной плотности ρ_1 и ρ_2 , находящихся в поле тяжести g_0 , строится полуэмпирическая теория. Вводится характерная турбу-

лентная скорость v и характерная турбулентная длина l . Из соображений размерности для турбулентной скорости v составляется энергетическое уравнение баланса [1]

$$(1.1) \quad \partial \rho v^2 / 2 \partial t + v \rho v^3 / l = \rho l v \omega^2.$$

Первый член в левой части означает изменение кинетической энергии во времени, второй член с неизвестным множителем v описывает диссипацию энергии турбулентного движения. Правая часть уравнения, определяющая весь процесс, записана из размерных соображений [1]; ω — частота нарастания коротковолновых возмущений, полученная при исследовании на устойчивость произвольного одномерного течения,

$$\omega^2 = g_0 \partial \ln \rho / \partial x > 0.$$

Последнее выражение полагается равным нулю, если $g_0 \partial \ln \rho / \partial x < 0$. Это устойчивый случай, когда турбулентное перемешивание не возникает. Для замыкания уравнений полагается

$$(1.2) \quad l = \alpha L,$$

где L — ширина области перемешивания; α — постоянная, как и v , определяемая из опыта.

Если предположить несжимаемость, то уравнение для плотности смеси может быть записано в виде

$$(1.3) \quad \partial \rho / \partial t = (\partial / \partial x) D \partial \rho / \partial x, \quad D = lv.$$

При необходимости может быть введена концентрация, например, легкого вещества $c = \rho_2 / \rho$.

В работе [1] в уравнении (1.1) был отброшен член с временной производной, а в [2] турбулентная скорость v полагалась не зависящей от пространственной переменной и уравнение (1.1) усреднялось по области перемешивания. Все это упростило решение задачи, хотя в ряде случаев привело к заметным отличиям.

2. Автомодельный характер движения. Задача о перемешивании двух несжимаемых жидкостей с постоянными плотностями ρ_1 и ρ_2 является автомодельной. Удобно перейти к новой переменной по времени τ

$$(2.1) \quad d\tau = l dt.$$

Уравнения (1.1), (1.4) примут вид

$$(2.2) \quad \begin{aligned} \partial v^2 / 2 \partial \tau + (v^2 / 2) \partial \ln \rho / \partial \tau + v v^3 / l^2 &= v g_0 \partial \ln \rho / \partial x; \\ \partial \rho / \partial \tau &= (\partial / \partial x) v \partial \rho / \partial x. \end{aligned}$$

Введем безразмерные переменные

$$(2.3) \quad \begin{aligned} \lambda &= x g_0^{-1/3} \tau^{-2/3}; \quad \tau = (1/27) \alpha^3 (\lambda_1 - \lambda_2)^3 g_0 t^3; \\ v &= \tau^{1/3} g_0^{2/3} \zeta(\lambda); \quad \rho = \rho_1 \delta(\lambda). \end{aligned}$$

Здесь λ_1 и λ_2 соответствуют правому и левому фронту перемешивания. Второе соотношение в (2.3), выражающее новую переменную τ через время t , получено после интегрирования (2.1) с использованием (1.2) и выражения для ширины L

$$L = g_0^{1/3} \tau^{2/3} (\lambda_1 - \lambda_2).$$

Ускорение g_0 постоянно. Можно считать

$$g = g_0 t^\beta,$$

при этом изменились бы степени в (2.3), но полагать ускорение произвольной функцией времени, как в работах [1.2], здесь нельзя, иначе рассматриваемая задача не будет автомодельной.

Подстановка (2.3) в (2.2) приводит к системе обыкновенных дифференциальных уравнений

$$(2.4) \quad \begin{aligned} (2/3)\lambda\zeta' + (1 + \lambda\zeta/3)\delta'/\delta - (1/3)\zeta - \zeta^2/A &= 0; \\ -(2/3)\lambda\delta' &= (\zeta\delta')', \quad A = (\alpha^2/v)(\lambda_1 - \lambda_2)^2 \end{aligned}$$

с краевыми условиями

$$(2.5) \quad \lambda = \lambda_1; \quad \zeta_1 = 0; \quad \delta_1 = 1;$$

$$(2.6) \quad \lambda = \lambda_2; \quad \zeta_2 = 0; \quad \delta_2 = 1/n = \rho_2/\rho_1.$$

Последние получены из естественных условий на фронте перемешивания: начальные плотности ρ_1 и ρ_2 и нулевая турбулентная скорость $v_1 = v_2 = 0$.

Особенностью полученной системы (2.4) является зависимость ее коэффициента A от значений неизвестных постоянных α и v , которые должны определяться из эксперимента.

Порядок системы (2.4) может быть понижен, если ввести новую переменную y

$$(2.7) \quad y^2 = \delta'/\delta.$$

Очевидно, система (2.4) перейдет в систему двух уравнений первого порядка

$$(2.8) \quad \begin{aligned} (1/3)\zeta + (1/A)\zeta^2 - (2/3)\lambda\zeta' &= (1 + \lambda\zeta/3)y^2; \\ -[(2/3)\lambda + \zeta'] &= \zeta(y^2 + 2y'/y). \end{aligned}$$

В приложении 1 будет показано, что искомое решение должно проходить через точки I и II:

$$(2.9) \quad \text{I } (\lambda = \lambda_1; \quad y_1 = (2/3)\lambda_1; \quad \zeta_1 = 0);$$

$$(2.10) \quad \text{II } (\lambda = \lambda_2; \quad y_2 = -(2/3)\lambda_2; \quad \zeta_2 = 0).$$

Обе точки I и II для системы (2.8) являются особыми. Характер особенности седловой. Разложение искомого решения имеет вид в точке I:

$$\begin{aligned} y &= \frac{2}{3}\lambda_1 + \left(\frac{1}{4} - \frac{\lambda_1^3}{27}\right)(\lambda - \lambda_1) + \dots \\ \zeta &= -\frac{2}{3}\lambda_1(\lambda - \lambda_1) + \left(-\frac{1}{12} + \frac{\lambda_1^3}{9}\right)(\lambda - \lambda_1)^3 + \dots \end{aligned}$$

в точке II:

$$\begin{aligned} y &= -\frac{2}{3}\lambda_2 + \left(-\frac{1}{4} + \frac{\lambda_2^3}{27}\right)(\lambda - \lambda_2) + \dots \\ \zeta &= -\frac{2}{3}\lambda_2(\lambda - \lambda_2) + \left(-\frac{1}{12} + \frac{\lambda_2^3}{9}\right)(\lambda - \lambda_2)^3 + \dots \end{aligned}$$

Значения λ_1 и λ_2 неизвестны. Дополнительное интегральное соотношение, получающееся при интегрировании (2.7) с учетом граничных условий (2.5), (2.6)

$$(2.11) \quad \int_{\lambda_2}^{\lambda_1} y^2 d\lambda = \ln n$$

замыкает задачу и позволяет найти единственное решение. Это решение строится путем численного интегрирования от точек I и II так, чтобы в особой точке $\lambda = 0$ обеспечить непрерывное смыкание одной из искомых функций, например ζ . При фиксированном значении λ_1 этого можно добиться подбором λ_2 . В силу особого характера точки $\lambda = 0$ значение другой функции y получится в этой точке непрерывным. Значения ζ и y будут связаны соотношением, вытекающим из (2.8) при $\lambda = 0$

$$y_0^2 = (1/3) \zeta_0 + (1/A) \zeta_0^2.$$

Начальная точка интегрирования λ_1 находится итерациями, пока не будет выполнено интегральное соотношение (2.11).

3. Выбор эмпирических постоянных. Как уже отмечалось, автомодельное решение зависит от параметра A , в определение которого входит отношение эмпирических постоянных α^2/v . Значение α^2/v может быть выбрано сравнением безразмерного профиля плотности, полученного экспериментально и теоретически. Для этого нужно перейти к новым переменным $\bar{\lambda}$, $\bar{\delta}$

$$\begin{aligned} \bar{\delta} &= (n\delta - 1)/(n - 1) = (\rho - \rho_2)/(\rho_1 - \rho_2); \\ \bar{\lambda} &= \lambda/\lambda_1 = r/r_1(t), \end{aligned}$$

где $r_1(t)$ соответствует фронту перемешивания в сторону тяжелого вещества. Теоретический профиль изменяется в широких пределах в зависимости от значения α^2/v . На фиг. 1 представлено сравнение профилей плотности $\bar{\delta}(\bar{\lambda})$ при $n = 10$.

Значение постоянной α^2/v можно также оценить теоретически, используя результаты работ [2, 3]. В [2] получено, что после выключения ускорения ширина области перемешивания развивается по степенному закону

$$(3.1) \quad L \sim t^n, \quad n = 1/(1 + v/8\alpha^2\eta_0^2).$$

Величина η_0 определяет эффективную ширину; если последнюю определить как зону, где $0,1 \leq \bar{\delta} \leq 0,9$, то $\eta_0 = 0,906$.

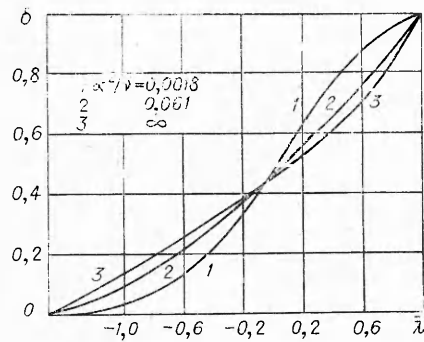
Из теоретического рассмотрения известно [3], что турбулентность затухает по закону $2/7$, т. е. характерная турбулентная длина l зависит от времени следующим образом:

$$(3.2) \quad l \sim t^{2/7}.$$

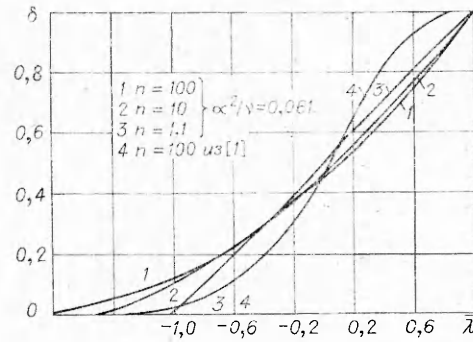
Приравнивая степени в соотношениях (3.1), (3.2), получим выражение для α^2/v

$$\alpha^2/v = 1/20\eta_0^2 = 0,061.$$

Как следует из фиг. 1, безразмерный профиль $\bar{\delta}$, начиная с некоторого значения параметра α^2/v , слабо зависит от точности его определения. В широком диапазоне $0,061 < \alpha^2/v < \infty$ различие между кривыми 2



Фиг. 1



Фиг. 2

и 3 фиг. 1 не является существенным. Некоторые особенности случая $\alpha^2/v = \infty$ вынесены в приложение 2.

Другая эмпирическая постоянная α выбирается из сравнения теоретической ширины L с экспериментальной. Для этого предлагается в опыте измерять ширину L_1 , отсчитываемую от первоначального положения границы раздела в сторону тяжелого вещества. Предпочтительнее сравнивать L_1 , а не L_2 , так как в сторону тяжелого вещества теоретический профиль плотности имеет четкий фронт, тогда как в сторону легкого этот фронт может быть размыт, особенно при больших значениях n (фиг. 2).

Для определения постоянной α в формуле для L_1

$$L_1 = (\alpha^2/9)(\lambda_1 - \lambda_2)^2 \lambda_1 g_0 t^2$$

нужно знать значения λ_1 и λ_2 . На фиг. 3 даны графики величин — λ_1/λ_2 и λ_1^3 в зависимости от $\ln n$ при $\alpha^2/v = 0,061$.

Оценим значение α , сравнивая полную ширину L

$$(3.3) \quad L = (\alpha^2/9)(\lambda_1 - \lambda_2)^3 g_0 t^2$$

с шириной, полученной в работе [1],

$$(3.4) \quad L = 0,084 g_0 t^2 \ln n.$$

Последняя формула справедлива при значениях n , близких к 1. Значение $(\lambda_1 - \lambda_2)^3$ в окрестности $n = 1$ можно с хорошей точностью описать формулой

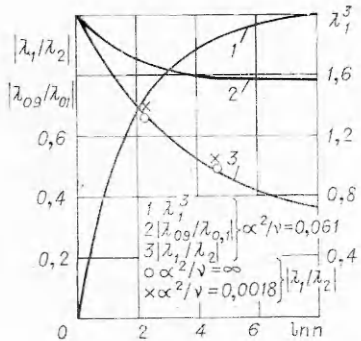
$$(3.5) \quad (\lambda_1 - \lambda_2)^3 = 9 \ln n.$$

Тогда, сравнивая (3.3) и (3.4), с учетом (3.5) получим

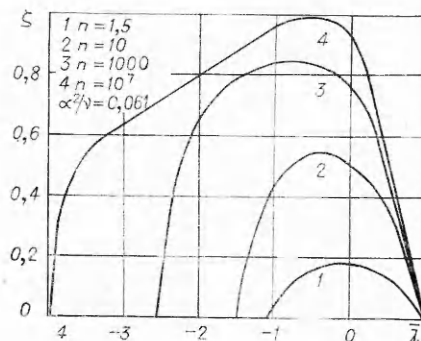
$$\alpha^2 = 0,084 \quad (\alpha = 0,29).$$

Напомним, что коэффициент в формуле (3.4) заимствован из работы [1], в которой при определении его значения использованы опытные данные, относящиеся к перемешиванию струйных течений. Поэтому при прямых опытах по гравитационному перемешиванию значение постоянной α может получиться несколько другим. Это замечание также относится и к выводу постоянной α^2/v , ее значение оценено теоретически и нуждается в экспериментальной проверке.

4. Обсуждение результатов. Отметим несколько особенностей полученного решения. Перемешивание протекает несимметрично, причем зна-



Фиг. 3



Фиг. 4

чение $-\lambda_1/\lambda_2$ определяется в основном начальным отношением плотностей n и слабо зависит от параметра α^2/v . На фиг. 3 точками и крестиками нанесены значения $-\lambda_1/\lambda_2$ соответственно при $\alpha^2/v = \infty$ и $\alpha^2/v = 0,018$. Эту зависимость для $\alpha^2/v = 0,061$ с хорошей точностью можно описать формулой

$$-\lambda_1/\lambda_2 = 1 + 0,222 \ln n.$$

Если $n \rightarrow 1$, то $-\lambda_1/\lambda_2 \rightarrow 1$, т. е. при малых отношениях плотностей перемешивание протекает почти симметрично; если $n \rightarrow \infty$, то $-\lambda_1/\lambda_2 \rightarrow \infty$, но так, что λ_1 конечно (см. фиг. 3). Поэтому при больших отношениях плотностей перемешиванием в сторону легкого захватывается большая область и в пределе ширина ее неограниченно растет. Однако если ширину мерить по области, где $0,1 \leq \bar{\delta} \leq 0,9$, то степень несимметрии, определяемая отношением $-\lambda_{0,9}/\lambda_{0,1}$, конечно при $n \rightarrow \infty$ и, как следует из фиг. 3, равна 0,78.

Из фиг. 2 вытекает, что профиль безразмерной плотности $\bar{\delta}$, отнесенный к безразмерному расстоянию $\bar{\lambda}$, при фиксированном значении постоянной α^2/v зависит от отношения плотностей n . Эта зависимость в основном имеет место при значениях $n < 10$ (кривые 2 и 3) и в области малой плотности $\bar{\delta} < 0,1$. Если $n > 10$, то профили $\bar{\delta}(\bar{\lambda})$ слабо различаются между собой (кривые 1 и 2).

На фиг. 4 приведены профили $\zeta(\bar{\lambda})$ для разных n . Интересно, что точка максимального значения ζ с ростом n смещается из точки $\bar{\lambda} = 0$ в точку $\bar{\lambda} = -2,57$ (при $n = 1000$) и снова возвращается в точку $\bar{\lambda} = 0$. Конфигурация кривой ζ при этом существенно меняется.

Таким образом, процесс перемешивания протекает несимметрично, причем несимметрия тем больше, чем больше начальный перепад плотностей n . Результаты работы [2], где область перемешивания симметрична и профиль $\bar{\delta}(\bar{\lambda})$ не зависит от n , могут быть использованы только в окрестности $n = 1$ при условии, что эмпирическая постоянная выбирается из совпадения профилей. Так как в [2] показано, что решение работы [1] слабо отличается от решения [2], то сделанный вывод относится и к решению, построенному в [1]. Если же считать (как это сделано в п. 3 при вычислении постоянной α), что области, охваченные перемешиванием, в [1] и в данной работе совпадают, то профили $\bar{\delta}(\bar{\lambda})$ получаются существенно разными при любом начальном перепаде плотностей (на фиг. 2 кривая 4 взята из [1] для $n = 100$). В отличие от [1] учет временной производной в уравнении баланса кинетической энергии приводит к ре-

шению с негладким примыканием профиля плотности на фронтах перемешивания.

Приложение 1. Покажем, что искомое решение должно выходить из точки I (2.9) и входить в точку II (2.10). Для этого нужно установить, что $y_1 = (2/3)\lambda_1$. Рассмотрим все допустимые значения y_1 : $y_1 = 0$; $y_1 = \infty$; $y_1 > 0$ — конечно.

1) $y_1 = 0$. Система уравнений (2.8) в окрестности точки $(\lambda_1, 0, 0)$ примет вид

$$\zeta' = (3/2\lambda_1)[(1/3)\zeta - y^2]; \quad y' = -\lambda_1 y/3\zeta.$$

Можно показать, что среди решений, выходящих из особой точки $(\lambda_1, 0, 0)$, нет искомого, удовлетворяющего очевидному условию $\zeta > 0$.

2) $y_1 = \infty$. В этом случае систему (2.8) можно заменить урезанной

$$\zeta' = -(3/2\lambda_1)y^2, \quad y' = (3/4\lambda_1)y^3/\zeta.$$

Поделим одно уравнение на другое и проинтегрируем

$$dy/d\zeta = -y/2\zeta, \quad y = c/\sqrt{\zeta},$$

c — постоянная интегрирования. Получим, что турбулентный поток на фронте области перемешивания отличен от нуля, так как

$$lv\partial\rho/\partial x \sim \zeta\delta \approx \zeta y^2 = c,$$

что противоречит физическому смыслу.

3) $y_1 > 0$ — постоянная. Урезанная система примет вид

$$-(2/3\lambda_1 + \zeta') = \zeta(y_1^2 + 2y'/y_1), \quad -2\lambda_1\zeta'/3 = y_1^2.$$

Оказывается, что только при $y_1 = 2\lambda_1/3$ существует кривая, выходящая из точки с требуемыми свойствами.

Аналогично исследуется точка II и показывается, что

$$y_2 = -2\lambda_2/3.$$

Приложение 2. Пусть $v = 0$. Тогда первое уравнение системы (2.4) после умножения на $3\delta\zeta$ и несложных преобразований примет вид

$$\delta\zeta^2 - \lambda(\delta\zeta^2)' - 3\zeta\delta' = 0.$$

Подставив $\zeta\delta'$ во второе уравнение системы (2.4), получим

$$2\delta' = (\delta\zeta^2)''.$$

После интегрирования

$$2(\delta - 1) = (\delta\zeta^2)' \text{ при } \lambda > 0, \quad 2(\delta - 1/n) = (\delta\zeta^2)' \text{ при } \lambda < 0.$$

Здесь для определения постоянной интегрирования использованы граничные условия (2.5), (2.6). Обозначим

$$z = \zeta^2\delta$$

и окончательно получим

$$\begin{aligned} 6(\sqrt{\delta})' &= \sqrt{z} - 2\lambda(\sqrt{z})', \\ z' &= \begin{cases} 2(\delta - 1), & \lambda > 0 \\ 2(\delta - 1/n), & \lambda < 0 \end{cases} \end{aligned}$$

с граничными условиями (2.5), (2.6). Отсюда вытекает, что функция z при $\lambda = 0$ терпит излом. Производная от плотности δ' в точке $\lambda = 0$ не прерывна. Решение можно построить численно. На фиг. 1 изображен профиль плотности для $n = 10$.

Поступила 21 VII 1975

ЛИТЕРАТУРА

- Беленький С. З., Фрадкин Е. С. Теория турбулентного перемешивания.— «Труды ФИАН им. Лебедева», 1965, т. 29, с. 207—238.
- Неуważаев В. Е. К теории турбулентного перемешивания.— «Докл. АН СССР», 1975, т. 222, № 5, с. 1053—1056.
- Колмогоров А. Н. К вырождению изотропной турбулентности в несжимаемой вязкой жидкости.— «Докл. АН СССР», 1941, т. 31, № 6, с. 538—541.

УДК 532.542

О КОЛЕБАНИЯХ ГАЗА В ТРУБЕ С НЕЛИНЕЙНОЙ АКТИВНОЙ НАГРУЗКОЙ

А. П. Владиславлев, В. М. Писаревский, Ю. Б. Пономаренко

(Москва)

Вследствие особенностей рабочего процесса в цилиндре поршневого компрессора в присоединенной трубопроводной системе возникают колебания давления и скорости транспортируемой среды — пульсирующий поток газа. Колебательные газодинамические процессы в трубах приводят к существенному снижению эффективности и надежности эксплуатации всей компрессорной установки. Одним из наиболее результативных методов снижения влияния пульсирующего потока газа является согласование начального участка. Сущность метода заключается в установке после ближайшего к цилиндуру участка трубопровода сосредоточенного сопротивления (нагрузки), величина которого равна волновому сопротивлению трубы [1]. Поскольку колебания газа являются низкочастотными, сопротивление нагрузки, как и в стационарном потоке, оказывается активным и нелинейным [2]. В связи с этим возможность согласования нелинейным сопротивлением нуждается в дополнительном исследовании.

Одномерное неуставновившееся движение газа в круглой трубе постоянного сечения со скоростью движения, много меньшей скорости звука, описывается системой уравнений [3]

$$(1) \quad \dot{\rho} + w' = 0, \quad \dot{w} + (w^2/\rho + \rho^\gamma/\gamma)' + (\lambda/\rho)w|w| = 0 \quad (0 \leq x \leq 1).$$

Система (1) записана в безразмерном виде (длина трубы, скорость звука и плотность равновесного газа равны 1); w — поток; ρ — относительная плотность; γ — показатель политропы; λ — безразмерный коэффициент гидравлического сопротивления. Точка означает дифференцирование по времени t ; штрих — по координате x .

Границные условия имеют вид

$$(2) \quad w = f(\omega t) \quad (x = 0); \quad (\rho^\gamma - 1)/\gamma = (\eta/\rho)w|w| \quad (x = 1),$$